

А К А Д Е М И Я Н А У К С С С Р
СИБИРСКОЕ ОТДЕЛЕНИЕ
А В Т О М Е Т Р И Я

№ 3

1969

АНАЛОГОВЫЕ ЭЛЕКТРОИЗМЕРИТЕЛЬНЫЕ, КОНТРОЛЬНЫЕ
И ДИАГНОСТИЧЕСКИЕ ПРИБОРЫ И УСТРОЙСТВА

УДК 621.317.3

З. В. МАГРАЧЕВ, Б. К. ЦЫГАНКОВ

(Краснодар)

ДВУХКАНАЛЬНЫЙ МЕТОД ИЗМЕРЕНИЯ
АМПЛИТУДЫ ОДИНОЧНЫХ ИМПУЛЬСОВ

Как известно, измерение амплитуд одиночных импульсов осуществляется с помощью устройств, преобразующих импульсный сигнал в квазистоянное напряжение или интервал времени. В первом случае обычно используются диодно-емкостные расширители, во втором — амплитудно-временные преобразователи. И те и другие содержат накопительную емкость, заряжаемую до амплитуды измеряемого импульса через вентиль, в качестве которого обычно используются вакуумные или полупроводниковые диоды.

Основным недостатком таких преобразователей является резкое возрастание погрешностей преобразования с уменьшением амплитуды и длительности измеряемых импульсов. Появление этих погрешностей объясняется главным образом нелинейностью вольт-амперных характеристик диодных вентилей в области малых напряжений и возрастанием в связи с этим эквивалентной постоянной времени заряда накопительного конденсатора. Это ограничивает возможности диодно-конденсаторного метода при измерении амплитуды одиночных импульсов.

Для уменьшения указанных погрешностей используются системы ускорения заряда накопительной емкости с помощью отрицательных обратных связей [1, 2]. Однако, как показано в этих работах, минимальная длительность преобразуемых импульсов в подобных системах ограничивается задержкой в цепи обратной связи, приводящей к выбросам на переходной характеристике системы, а следовательно, к возрастанию погрешности преобразования.

В [3] развиты интегральные методы преобразования наносекундных импульсов малой амплитуды с помощью двух или более расширителей импульсов, содержащих нелинейные элементы с различной нелинейностью. Отношение выходных напряжений этих расширителей не зависит от длительности измеряемых импульсов и является функцией обобщенной амплитуды измеряемого сигнала. При наличии сведений о коэффициенте формы измеряемого импульса с помощью подобных устройств можно получить информацию об амплитуде и длительности измеряемых импульсов, в том числе и одиночных.

Интегральные методы измерения амплитуды импульсов имеют погрешность порядка 10% и наиболее эффективны при измерении импульсов амплитудой менее 1 в, т. е. в пределах напряжений, при которых характеристики используемых нелинейных элементов аппроксимируются

какой-либо одной элементарной функцией. Принципиальным условием реализации этого метода является наличие нелинейных элементов с различными и известными характеристиками.

Можно показать, что при использовании метода двухканального преобразования [4] для измерения амплитуды одиночных наносекундных импульсов нетрудно получить удовлетворительные результаты, применяя элементы с одинаковой нелинейностью или компенсируя их неидентичность. Рассмотрим возможности этого метода.

Пусть имеется два идентичных по схеме преобразователя амплитуд одиночных импульсов, накопительные конденсаторы которых C_{n1} и C_{n2} заряжаются через диодные ключи D_1 и D_2 от импульсов, подаваемых на вход преобразователей (рис. 1). На вход первого преобразователя

подается напряжение U_m , на вход второго — $\frac{U_m}{n}$, где $n = \frac{R_1 + R_2}{R_2}$

коэффициент деления делителя во втором канале преобразования. Тогда амплитуда выходного напряжения каждого из преобразователей может быть представлена следующими выражениями:

$$U_{m\text{ вых}1} = U_m (1 - \delta U_{\text{зар}1}); \quad (1)$$

$$U_{m\text{ вых}2} = \frac{U_m}{n} (1 - \delta U_{\text{зар}2}), \quad (2)$$

Рис. 1. Двухканальный диодно-емкостный преобразователь одиночных импульсов.

где $\delta U_{\text{зар}1}$ и $\delta U_{\text{зар}2}$ — относительные погрешности, возникающие при заряде накопительных конденсаторов преобразователей. Как показано в [2], в области малых напряжений и длительностей сигналов эти погрешности для прямоугольной формы импульсов с достаточной точностью описываются соотношениями:

$$\delta U_{\text{зар}} = \frac{1}{b U_m} \ln \left[1 - \exp \left(- \frac{i_{d0} b}{C_n + C_d} t_n \right) \right] \text{ для вакуумных диодов}; \quad (3)$$

$$\delta U_{\text{зар}} = \frac{1}{b U_m} \ln [1 - \exp(-S e^{b U_{d0}} t_n)] \text{ для полупроводниковых диодов}. \quad (4)$$

Здесь b — коэффициент аппроксимации вольт-амперной характеристики показательной функцией; U_m — амплитуда измеряемого импульса; i_{d0} — начальный ток и напряжение смещения диода; C_n — накопительная емкость; C_d — проходная емкость диода; t_n — длительность импульса; $S = \frac{b I_s}{C_n}$, где I_s — обратный ток полупроводникового диода.

Рассмотрим разность выходных напряжений преобразователей, получаемую в схеме рис. 1 с помощью вычитающего устройства ВУ. На основании (1) и (2) она записывается как

$$\Delta = U_m \left(1 - \frac{1}{n} \right) - U_m \left(\delta U_{\text{зар}1} - \frac{1}{n} \delta U_{\text{зар}2} \right). \quad (5)$$

С учетом (3), (4) выражения для $\delta U_{\text{зар}1}$ и $\delta U_{\text{зар}2}$ можно представить в виде:

$$\delta U_{\text{зар}1} = \frac{1}{b_1 U_m} f_1(P); \quad (6)$$

$$\delta U_{\text{зар}2} = \frac{n}{b_2 U_m} f_2(P), \quad (7)$$

где $f_1(P)$ и $f_2(P)$ — логарифмические функции параметров преобразователя и длительности преобразуемых импульсов. Подстановка выражений (6), (7) в (5) дает

$$\Delta = U_m \left(1 - \frac{1}{n} \right) - \left[\frac{1}{b_1} f_1(P) - \frac{1}{b_2} f_2(P) \right]. \quad (8)$$

Для случая, когда используются нелинейные элементы с одинаковыми характеристиками, т. е. $b_1=b_2$ и $f_1(P)=f_2(P)$, разностное напряжение

$$\Delta = U_m \left(1 - \frac{1}{n} \right) \quad (9)$$

пропорционально амплитуде измеряемого сигнала и не зависит от его длительности. Однако вследствие большого разброса и дрейфа характеристик вентилей практически трудно обеспечить выполнение условия (9), в связи с чем разностное напряжение имеет вид

$$\Delta = U_m \left(1 - \frac{1}{n} \right) - \xi(t),$$

где $\xi(t)$ — второй член выражения (8). Относительная погрешность преобразования при этом определяется соотношением

$$\delta \xi = \frac{\xi(t)}{U_m \left(1 - \frac{1}{n} \right)}. \quad (10)$$

Рассмотрим способ уменьшения этой погрешности. Если $\xi(t)=0$, то будем иметь

$$\frac{f_1(P)}{f_2(P)} = \frac{b_1}{b_2} = \eta. \quad (11)$$

Таким образом, задача сводится к подбору отношения логарифмических функций. Решим ее, например, для случая емкостных накопителей с вакуумными диодами, у которых в области малых напряжений погрешности при заряде описываются выражениями вида (3). Тогда, раскрывая (11) с учетом (3), получим

$$\frac{1}{\eta} \ln \left[1 - \exp \left(- \frac{b_1 i_{d01}}{C_{n1} + C_{d1}} t_n \right) \right] = \ln \left[1 - \exp \left(- \frac{b_2 i_{d02}}{C_{n2} + C_{d2}} t_n \right) \right]. \quad (12)$$

Решив это уравнение относительно $\frac{i_{d02}}{C_{n2} + C_{d2}}$, найдем

$$\frac{i_{d02}}{C_{n2} + C_{d2}} = - \frac{1}{b_2 t_n} \ln \left\{ 1 - \left[1 - \exp \left(- \frac{b_1 i_{d01}}{C_{n1} + C_{d1}} t_n \right) \right]^{\frac{1}{\eta}} \right\}. \quad (13)$$

Путем подбора отношения левой части уравнения (13) можно обеспечить условие $\xi(t)=0$ для любой длительности импульса t_n .

Ток i_{d0} — начальный ток диода — можно регулировать у вакуумных диодов напряжением накала или внешним смещением, у полупроводниковых диодов — внешним смещением. Значение накопительной емкости C_n можно варьировать в необходимых пределах.

При работе в широком диапазоне длительностей импульсов и калибровке преобразователя при фиксированной длительности t_{n0} выполнить условие $\xi(t)=0$ для всех t_n не представляется возможным, так как выражение (13) зависит от величины t_n .

На рис. 2 приведены графики зависимости абсолютной погрешности $\xi(t)$ от длительности импульса для $\eta=1,1$ и $\eta=1,2$ при двух значениях отношения (13), рассчитанных для $t_{u_0} = 10$ нсек (сплошные линии) и $t_{u_0} = 50$ нсек (штриховые линии). Графики показывают, что рассмотренный способ позволяет существенно уменьшить погрешность измерения, но при значительном разбросе параметра b малые погрешности в широком диапазоне длительностей не обеспечиваются. Этот недостаток можно устранить путем подбора вентилей с идентичными характеристиками ($b_1 = b_2$), например с приблизительно одинаковыми начальными токами при одном и том же смещении.

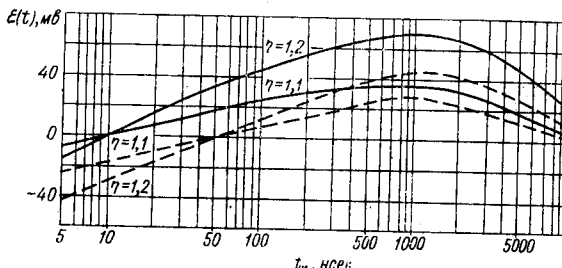


Рис. 2. Графики зависимости $\xi(t)$ от длительности импульса ($C_{u1} + C_{d1} = 100$ пФ; $b_1 = 9 \frac{1}{b}$; $i_{d01} = 5$ мкА).

шения (13) калибровку или настройку преобразователя целесообразно производить в области минимальных амплитуд и длительностей измеряемых импульсов, т. е. там, где зарядные погрешности максимальны.

Благодаря изложенному удается скомпенсировать неидентичность вольт-амперных характеристик вентилей в точке калибровки и свести к минимуму или усреднить погрешность преобразования в области малых амплитуд и длительностей измеряемых импульсов. С увеличением амплитуды измеряемого импульса относительная погрешность (3), (4) уменьшается, что обеспечивает широкодиапазонность двухканальных преобразователей.

Рассмотрим влияние коэффициента деления n на параметры преобразования. Очевидно, что использование системы вычитания теряет смысл, когда абсолютные погрешности при заряде в двух каналах становятся разными. Допустим, что погрешность при заряде у второго емкостного накопителя при минимальной амплитуде измеряемого импульса $U_{m\min}$ оказывается столь велика, что его выходное напряжение составляет $U_{m\text{вых}2} \approx 0$. Рассматривая для простоты случай, когда $b_1 = b_2$ и $f_1(P) = f_2(P)$, из выражения (2) получим условие, при котором справедливо указанное равенство:

$$\delta U_{\text{зар. доп}} = \frac{1}{n}. \quad (14)$$

Таким образом, чем больше коэффициент деления напряжения во втором преобразователе, тем меньше допустимая относительная погрешность за счет недозаряда емкостного накопителя, которую можно скомпенсировать двухканальным методом преобразования. Так, например, при $n=2$ $\delta U_{\text{зар. доп}} = 50\%$, при $n=4$ $\delta U_{\text{зар. доп}} = 25\%$. Отсюда следует также, что коэффициент деления n влияет на минимальную длительность преобразуемых импульсов. Раскрывая (14) с учетом (3), нетрудно получить эту зависимость:

$$t_{u\min} = -\frac{C_u + C_d}{b i_{d0}} \ln \left[1 - \exp \left(-\frac{b U_m}{n} \right) \right]. \quad (15)$$

Длительность $t_{u\min}$ можно уменьшить путем снижения коэффициента деления n . Однако при этом уменьшается уровень выходного

напряжения, снимаемого с вычитающего устройства ВУ, что затрудняет процесс дальнейшего преобразования и отсчета измеряемой величины и увеличивает влияние дестабилизирующих факторов. Практически оптимальный коэффициент деления оказывается близким к величине $n_{\text{опт}} \approx 1,5-2$. Следует отметить также, что работа преобразователей при больших значениях недозаряда накопительной емкости приводит к нарушению условий (3), (4), так как в этом случае остаточное напряжение на диоде $\Delta U_d = \delta U_{\text{зар}} U_m$ велико, и рабочая точка диода не успевает выйти на участок вольт-амперной характеристики, аппроксимируемой показательной функцией.

В зависимости от принципа построения схемы преобразователя вычитание можно осуществлять двумя методами: с помощью обычных способов вычитания импульсных напряжений или путем вычитания временных интервалов после амплитудно-временного преобразования.

С помощью описанного метода возможно построение двухканальных амплитудно-временных преобразователей (АВП), у которых погрешности за счет недозаряда накопительного конденсатора и ряд погрешностей преобразования интервала могут быть существенно уменьшены. Рассмотрим возможные практические реализации таких преобразователей.

На рис. 3, а представлена блок-схема АВП с плавающим порогом дискриминации. Идея построения схемы сводится к тому, что уровень дискриминации интервала преобразования в АВП определяется напряжением расширителя, абсолютное значение зарядной погрешности которого одинаково с зарядной погрешностью АВП. Благодаря этому при уменьшении напряжения на накопительном конденсаторе АВП за счет недозаряда уменьшается также и уровень, на котором осуществляется дискриминация интервала преобразования. Вследствие этого в значительной степени устраняется зависимость характеристик преобразования от амплитуды, формы и длительности преобразуемых импульсов. Преобразуемый импульс амплитудой U_m заряжает через диодный вентиль D_1 накопительный конденсатор C_{n1} . По окончании импульса конденсатор C_{n1} начинает разряжаться по

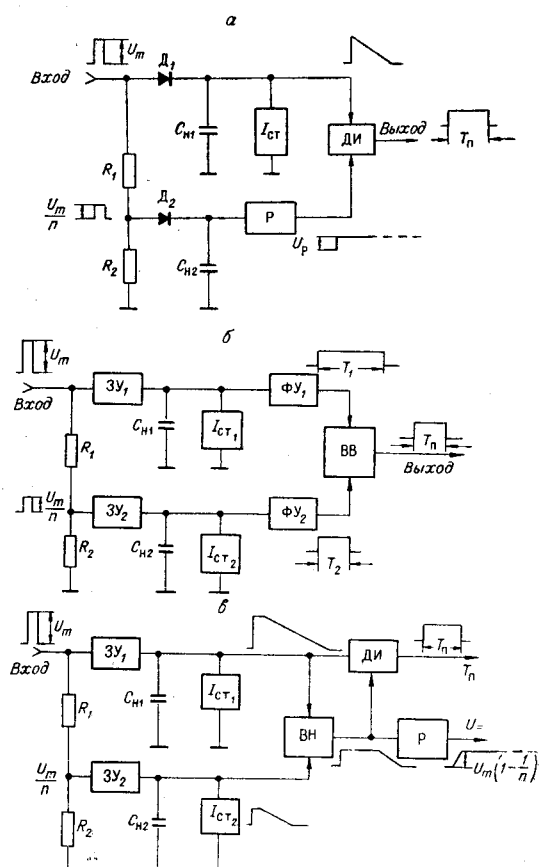


Рис. 3. Блок-схема амплитудно-временных преобразователей с плавающим порогом дискриминации (а), с двумя дискриминаторами (б) и универсального аналогового преобразователя (в).

линейному закону через стабилизатор тока. Линейно спадающее напряжение подается на вход дискриминатора интервала ДИ. Одновременно с этим уменьшенный по амплитуде импульс через диодный вентиль D_2 заряжает накопительный конденсатор C_{n2} , напряжение которого запоминается расширителем Р. Выходное напряжение расширителя, используемое в качестве опорного, подается на второй вход дискриминатора интервала ДИ.

Ввиду того, что входной сигнал предварительно расширяется диодно-емкостной цепочкой $D_2 C_{n2}$, требования, предъявляемые к расширителю Р, соответственно снижаются. Так, например, если минимальный интервал преобразования АВП составляет $T_n = 100 \text{ мксек}$, то длительность расширенного импульса должна быть также не менее 100 мксек . Одноступенчатая диодно-емкостная запоминающая цепочка дает коэффициент расширения не менее 10. Тогда при длительности входного импульса $t_n = 20 \text{ нсек}$ на вход расширителя Р поступит импульс длительностью $0,2 \text{ мксек}$, а требуемый коэффициент расширения расширителя составит 500, что легко обеспечивается двухступенчатым расширителем импульсов.

Вследствие недозаряда накопительных конденсаторов C_{n1} и C_{n2} в момент окончания входного импульса с амплитудой U_m напряжение на этих конденсаторах будет описываться выражениями (1) и (2). По окончании импульса конденсатор C_{n1} начинает разряжаться по линейному закону до момента равенства напряжения на нем опорному напряжению U_p , снимаемому с расширителя. Этот момент фиксируется дискриминатором. Таким образом,

$$T_n = K_n (U_{C_1} - U_p). \quad (16)$$

Можно считать, в первом приближении, что выходное напряжение расширителя в момент сравнения отличается от напряжения на конденсаторе C_{n1} на величину коэффициента передачи расширителя:

$$U_p = U_{C_2} \theta = \frac{\theta}{n} U_m (1 - \delta U_{\text{зар}}). \quad (17)$$

Тогда для интервала преобразования, выделяемого дискриминатором интервала, в соответствии с (16), получим

$$T_n = K_n U_m \left[1 - \frac{\theta}{n} - \delta U_{\text{зар}} (1 - \theta) \right], \quad (18)$$

где $\delta U_{\text{зар}} = \delta U_{\text{зар}1} = \frac{1}{n} \delta U_{\text{зар}2}$. Поскольку коэффициент передачи θ близок к единице, то влияние зарядной погрешности существенно уменьшается. Так, при $\theta=0,8$ влияние зарядной погрешности $\delta U_{\text{зар}}$ уменьшается в 5 раз.

Возможен и путь полной компенсации погрешности в предлагаемом АВП. Рассмотрим для этого разность

$$\delta U_{\text{зар}1} - \frac{\theta}{n} \delta U_{\text{зар}2} = \xi(t)$$

в правой части соотношения (18). В соответствии с (6) и (7) записываем ее в виде

$$\frac{1}{b_1 U_m} f_1(P) - \frac{\theta}{b_2 U_m} f_2(P) = \xi(t).$$

При использовании неидентичных нелинейных элементов ($b_1 \neq b_2$), подбрав значения $f_1(P)$ и $f_2(P)$, можно добиться условия

$$\frac{b_2}{\theta b_1} = \frac{f_2(P)}{f_1(P)},$$

при котором $\xi(t) = 0$. В этом случае выражение (18) преобразуется так:

$$T_n = K_n U_m \left(1 - \frac{\theta}{n}\right), \quad (19)$$

т. е. не зависит от зарядных погрешностей.

Таким образом, в описываемом АВП с плавающим порогом дискриминации удается либо исключить, либо существенно уменьшить погрешности преобразования, связанные с недозарядом накопительного конденсатора. В АВП подобного типа удается осуществлять преобразование импульсов длительностью 20—30 нсек при амплитудах до 1 в и меньше.

В рассматриваемой выше схеме АВП не устраняются погрешности, связанные с нелинейностью коэффициента преобразования за счет конечной обратной проводимости зарядного диода $\delta K_{п.д.}$, а также уровня помех и шумов $\delta U_{ш}$. Кроме этого, существенное значение имеют погрешности, зависящие от формы вершины и среза импульса δT_Φ [2] которые устраняются введением управляемого нелинейного ключа на входе АВП, как это описано в [5]. Однако при этом возникает дополнительная погрешность за счет пьедестала δU_0 . При преобразовании импульсов малой амплитуды резко возрастают погрешности АВП за счет отличия порога дискриминации от первоначального нулевого уровня $\delta U_{п.д.}$.

Запишем перечисленные погрешности:

$$\begin{aligned} \delta T_\Sigma &= \delta K_{п.д.} + \delta U_{ш} + \delta T_\Phi + \delta U_0 + \delta U_{п.д.} = \\ &= \frac{U_{ш0}}{U_m} + \frac{2 U_{шш}}{U_m} + \frac{t_n}{K_n U_m} + \frac{C_n}{\sum C} \frac{U_0}{U_m} + \frac{U_{п.д.}}{U_m} = \frac{1}{U_m} f(M), \end{aligned} \quad (20)$$

где $f(M)$ не зависит от амплитуды измеряемого импульса.

Как было показано выше, двухканальный метод преобразования позволяет исключить погрешности, описываемые выражениями вида (20).

На рис. 3, б представлена блок-схема двухканального АВП, состоящего из двух идентичных по схеме преобразователей, которые соединены по входу через делитель напряжения [6]. Выходные импульсы этих преобразователей подаются на схему временного вычитания ВВ, с выхода которой снимается сигнал длительностью $T_1 - T_2$, не зависящий от перечисленных выше погрешностей. Выражения для интервала преобразования T_n , получаемого с выхода формирующего устройства каждого из преобразователей, могут быть записаны в виде:

$$\begin{aligned} T_{n1} &= K_{n1} U_m \left[1 - \delta U_{зар1} - \frac{1}{U_m} f(M)\right]; \\ T_{n2} &= K_{n2} U_m \frac{1}{n} \left[1 - \delta U_{зар2} - \frac{n}{U_m} f(M)\right]. \end{aligned} \quad (21)$$

Тогда после схемы временного вычитания с учетом (6), (7) и (20) будем иметь

$$T_n = U_m \left(K_{n1} - \frac{K_{n2}}{n}\right) - f(M) (K_{n1} - K_{n2}) - \left[\frac{K_{n1}}{b_1} f_1(P) - \frac{K_{n2}}{b_2} f_2(P)\right]. \quad (22)$$

Для того чтобы интервал преобразования T_n не зависел от погрешностей накопления и преобразования, необходимо, чтобы коэффициенты преобразования обоих преобразователей были равны $K_{n1} = K_{n2} = K_n$. В этом случае выражение (22) примет вид

$$T_n = K_n U_m \left(1 - \frac{1}{n}\right) - K_n \left[\frac{1}{b_1} f_1(P) - \frac{1}{b_2} f_2(R) \right]. \quad (23)$$

Выше было показано, что подбором логарифмических функций $f(P)$ можно обратить второй член равенства (23) в нуль. Тогда с выхода преобразователя будет сниматься интервал $T_n = K_n U_m \left(1 - \frac{1}{n}\right)$, не зависящий от рассмотренных выше погрешностей.

Так как $K_n = \frac{C_n}{I_{ct}}$, где I_{ct} — ток стабилизатора, а C_n — накопительная емкость, равенство $K_{n1} = K_{n2}$ легко обеспечивается регулировкой тока одного из токостабилизирующих устройств. С помощью построенного таким образом АВП удается преобразовывать импульсы длительностью до 10 мсек и амплитудой до 1 в и менее.

Интересно отметить, что с помощью рассмотренного выше метода можно получить аналог амплитуды одиночного импульса в виде квазипостоянного напряжения. Действительно, если подавать два линейно спадающих напряжения, образующихся при разряде на конденсаторах C_{n1} и C_{n2} , на схему вычитания напряжения ВН, то разностное напряжение в течение интервала преобразования второго АВП будет близко к постоянному. Запишем выражения для выходных напряжений на конденсаторах C_{n1} и C_{n2} :

$$U(t)_{C_1} = U_m \left(1 - \frac{t}{T_n}\right); \quad 0 < t < T_n; \quad (24)$$

$$U(t)_{C_2} = \frac{U_m}{n} \left(1 - \frac{nt}{T_n}\right); \quad 0 < t < \frac{T_n}{n}. \quad (25)$$

Тогда разностное напряжение имеет вид:

$$U_p = U_m \left(1 - \frac{1}{n}\right); \quad 0 < t < \frac{T_n}{n}; \quad (26)$$

$$U_p = \frac{U_m}{n} \left[1 - \frac{n \left(t - \frac{T_n}{n}\right)}{T_n}\right]; \quad \frac{T_n}{n} < t < T_n. \quad (27)$$

Полученные соотношения, разумеется, справедливы, если оба линейно спадающих напряжения имеют одинаковую крутизну, т. е. коэффициенты преобразования обоих АВП равны. Расширенный импульс, снимаемый со схемы вычитания, имеет длительность, равную $T_n/2$. Таким образом, если коэффициент преобразования АВП имеет, например, величину $K_n = 100 \text{ мксек/в}$, а $n=2$, то при поступлении на вход преобразователя импульса длительностью 10 мсек и напряжением 1 в длительность расширенного импульса составляет 50 мсек, что соответствует коэффициенту расширения $K=2500$. Импульс длительностью 50 мсек несложно расширить, преобразовав его в квазипостоянное напряжение.

На базе рассмотренного принципа можно создать универсальный аналоговый преобразователь амплитуды импульсов, с выхода которого снимаются два аналога: интервал времени и квазипостоянное напряжение, пропорциональные измеряемой амплитуде импульса. Такой преобразователь дает возможность использовать для измерения амплитуд

одиночных импульсов стандартные счетчиковые частотомеры, а также стрелочные и цифровые вольтметры постоянного тока. Подобного рода преобразователи могут быть применены в вычислительной технике для встраивания в аналоговые моделирующие и цифровые машины, поскольку их выходные функции удобны для дальнейших дискретных аналоговых преобразований.

Блок-схема такого универсального аналогового преобразователя представлена на рис. 3, в. Канал амплитудно-временного преобразования аналогичен блок-схеме рис. 3, б. Для получения квазистоянного напряжения использованы схемы вычитания пилообразных напряжений и расширитель импульсов.

На основе двухканального амплитудно-временного преобразователя (см. рис. 3, б) разработан макет цифрового вольтметра одиночных импульсов для диапазонов 1—300 в по напряжению и 15 нсек—1000 мксек по длительности. На входе каждого канала вольтметра включены предварительные расширители импульсов на диодах 2Д503Б. Емкость конденсатора в расширителе первого канала равна 35 пф.

Компенсация разброса характеристик диодов и уменьшение погрешности при малых длительностях достигались в соответствии с (13) изменением емкости C_{n2} . Разница в емкостях накопительных конденсаторов определила экстремальный характер показаний вольтметра при изменении длительности импульсов.

Испытания макета в наносекундном диапазоне проводились с помощью генератора калиброванных импульсов на ртутном реле. Калибровка макета выполнялась при $U_m = 2$ в и $t_n = 25$ нсек. Результаты испытаний показали (рис. 4), что погрешность вольтметра δU не превышает $\pm 6\%$, в то время как для одноканального вольтметра эта величина составляет 25—30%.

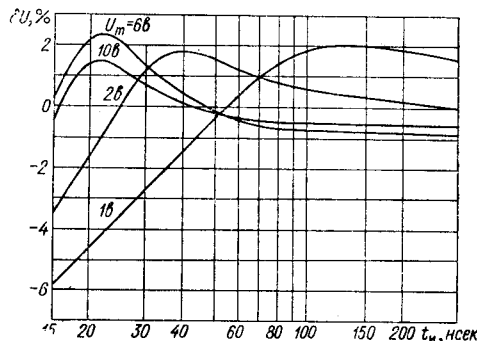


Рис. 4. Графики зависимости погрешности двухканального вольтметра $\delta U = f(U_m, t_n)$.

ЛИТЕРАТУРА

- С. Л. Горн, И. С. Крашенинников, Б. И. Хазанов. Электроника в спектрометрии ядерных излучений. М., Госатомиздат, 1963.
- З. В. Маграчев. Вольтметры одиночных импульсов. М., «Энергия», 1967.
- М. И. Грязнов. Интегральные способы измерения некоторых параметров наносекундных импульсов малой амплитуды.— Автоматический контроль и методы электрических измерений. (Труды V конференции). Новосибирск, РИО СО АН СССР, 1964.
- Г. И. Ковтун. Устройство для измерения импульсов тока и напряжения в широком диапазоне частот и длительностей. Авторское свидетельство № 175563.— Бюллетень изобретений, 1965, № 20.
- З. В. Маграчев, В. Я. Егупов. Амплитудно-временной преобразователь. Авторское свидетельство № 164488.— Бюллетень изобретений, 1964, № 15.
- З. В. Маграчев, Б. К. Цыганков. Амплитудно-временной преобразователь. Авторское свидетельство № 213108.— ИПОТЗ, 1968, № 10.

Поступила в редакцию
16 марта 1967 г.,
окончательный вариант
10 августа 1968 г.